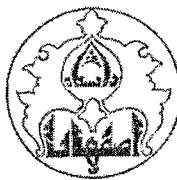




118.1a



دانشگاه اصفهان

دانشکده علوم

گروه زیست شناسی

پایان نامه‌ی کارشناسی ارشد رشته‌ی علوم سلولی و مولکولی گرایش ژنتیک

**بررسی وضعیت بیان ژن‌های پراکسی زومی در مقایسه با ژن‌های *Nanog* و *Oct4* در طول تمایز عصبی سلولهای P19**

استادان راهنما:

دکتر کامران قائدی

دکتر شهرناز رضوی

استاد مشاور:

دکتر محمد حسین نصر اصفهانی

پژوهشگر:

مرضیه موج بافان

تهران  
دانشگاه تهران  
تهران

۱۳۸۸ / ۴ / ۶

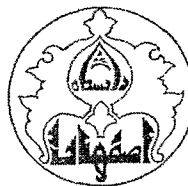
اسفند ماه ۱۳۸۷

۱۱۵۰۱۸

کلیه حقوق مادی مترتب بر نتایج مطالعات،  
ابتكارات و نوآوری های ناشی از تحقیق موضوع  
این پایان نامه متعلق به دانشگاه اصفهان است.

هزینه های مصرفی این پایان نامه بر مبنای قرارداد  
شماره ۱۴۸-۴ مورخ ۸۷/۲/۲۹ از بودجه تحقیقاتی  
پژوهشکده رویان تامین گردیده است.

پایان نامه  
شیوه کارشناسی پایان نامه  
رجایت شده است  
تحصیلات تکمیلی دانشگاه اصفهان



دانشگاه اصفهان

دانشکده علوم

گروه زیست شناسی

پایان نامه‌ی کارشناسی ارشد رشته‌ی زیست شناسی سلولی مولکولی گرایش ژنتیک

خانم مرضیه موج بافان

**بررسی وضعیت بیان ژن های پراکسی زومبی در مقایسه بازن های Nanog و Oct4 و P19 در طول تمایز عصبی سلولهای**

در تاریخ ۱۹/۱۲/۸۷ توسط هیأت داوران زیر بررسی و با درجه ..... به تصویب نهایی رسید.

امضا

امضا

امضا

امضا

امضا

امضا

۱- استاد راهنمای اول پایان نامه دکتر کامران قائدی با مرتبه‌ی علمی استادیار

۲- استاد راهنمای دوم پایان نامه دکتر شهرناز رضوی با مرتبه‌ی علمی دانشیار

۳- استاد مشاور پایان نامه دکتر محمد حسین نصر اصفهانی با مرتبه‌ی علمی دانشیار

۴- استاد داور داخل گروه منوچهر توسلی خورزانی با مرتبه‌ی علمی استادیار

۵- استاد داور خارج از گروه دکتر محمد ربانی با مرتبه‌ی علمی دانشیار

امضای مدیر گروه

امیر

## به نام یگانه خالق هستی

این فرصت بی تکرار عشق است، معما نیست

آدم به زمین آید، این حادثه رؤیا نیست

در آغاز خداوند مهریان را سپاس می گوییم

که باز مرا در ثانية ها و لحظه ها یاری کرد. سپاس خدا را به اندازه همه سپاسی که نزدیکترین فرشتگان و گرامی ترین بندگان و پسندیده ترین ستایش کنندگان او را ستایش کرده اند، سپاسی که بر سپاس های دیگر برتری داشته باشد مانند برتری که پروردگار نسبت به آفریدگان دارد.

و با سپاس از

استاد گرامی جناب آقای دکتر قائدی که مرا در کاری که به انجام رسیده است، دلیل و راهنمای بوده اند. بصاعتم علمی خود را وام دار ایشانم که مرا مشتاقانه هدایت کرده و همواره پشتیبان من بوده اند.

سرکار خانم دکتر رضوی به پاس راهنمایی های دلسوزانه شان در راهنمایی این پروژه.

جناب آقای دکتر نصر اصفهانی که امکان انجام این پروژه را در پژوهشکده رویان فراهم نموده و همواره راهنمایی ها و تجربیاتشان راهگشای این پروژه بود.

استاد داور محترم داخل گروه جناب آقای دکتر توسلی

استاد داور خارج گروه جناب آقای دکتر ریانی

تمامی استادی گرامی گروه زیست شناسی به ویژه بخش ژنتیک جناب آقای دکتر ولیان، جناب آقای دکتر متولی باشی و سرکار خانم دکتر حجتی که در تمام مراحل تحصیل مرا از رهنمودهای پریارشان بهره مند گردانیدند و امیدوارم همچون گذشته در تلاش جدی و مسئولانه خود پر دوام بمانند.

همکاران محترم پژوهشکده رویان اصفهان خانم کرملی، تنهایی، کربلایی، نعمت اللهی، ریعی، فروزان و توکلی که انجام این پروژه بدون مساعدت های بی دریغ این عزیزان میسر نبود. همچنین سایر دوستان و همکاران این مرکز که مرا در انجام این طرح یاری دادند.

دوستان عزیزم سرگل، مریم، زهرا، نجمه، ثریا، لادن، سحر، هدی، فاطمه، زینب و دیگر همکلاسی هایم به پاس همراهی ها و مهریانی هایشان.

تقدیم به

آنان که بسان خورشید، آسمان زندگی ام را نورانی کرده اند؛

دو ستاره پر فروغی که از درخشندگی در شب های تار من نهار سیدند و در پیچ و خم مسیر کمال  
همواره یار و مدد کارم بوده اند؛

کسانی که همیشه و در همه جا مایه افتخار و اعتبار من بوده و هستند؛

مادر مهربانم که آئینه تمام نمای شور زندگی است؛ او که دلخوشی های امروز را مدیون  
تشویق های دیروز و دلوپسی های همیشگی اش هستم.

پدر عزیزم که مفهوم بی دریغ مهربانی و صداقت است؛ او که وسعت افق های پیش رویم، همه از  
نگاه های بلندش روشن می شود.

برادران عزیزم به پاس همدلی، همراهی و محبت هایشان که روزگاری سراسر سعادت و نیکبختی  
را برایشان آرزومندم.

... و تقدیم به همه سبز آندیشانی که شوق دانستن، طعم حیاتشان است.

چکیده:

پراکسی زوم‌ها اندامک‌هایی هستند که تقریباً در تمام یوکاریوت‌ها یافت می‌شوند و در متابولیسم اسید‌های چرب و پلاسمالوژن‌ها و دیگر متابولیت‌ها شرکت دارند، همچنین آن‌ها نقش مهمی در عصب‌زایی بازی می‌کنند. پروتئین‌های ماتریکسی زومی بر روی پلی ریبوزوم‌های موجود در سیتوزول سنتز شده و با استفاده از دو سیگنال PTS1 و PTS2 به سمت پراکسی زوم هدف گیری می‌شوند.

در نقص‌های بیوژن پراکسی زومی، اختلالات نورولوژیکی جدی در بیماران مشاهده می‌شود. به منظور درک بهتر ارتباط عملکرد پراکسی زوم‌ها در طول عصب‌زایی، در این تحقیق، به بررسی تغییر بیان سه ژن پراکسی زومی *PEX3* و کاتالاز در حین نوروژن پرداخته شد. رده سلولی کارسینومای جنینی P19 جهت انجام این تحقیق مورد استفاده قرار گرفت زیرا این رده سلولی، رده سلولی مفیدی است که به راحتی می‌تواند با استفاده از رتینوئیک اسید و ایجاد تجمعات سلولی به عصب‌تمایز شود.

بیان ژن‌های پراکسی زومی مثل *PEP* که یک پروتئین پراکسی زومی جدید است و به تازگی شناخته شده، کاتالاز به عنوان یک پروتئین موجود در ماتریکس پراکسی زوم و *PEX3* به عنوان ژن موجود در غشاء پراکسی زوم در سطح mRNA بررسی شد و به منظور اطمینان از تمایز این سلول‌ها به عصب، بیان ژن‌های نشانگر پرتوانی مثل *Oct4* و *Nanog* و ژن‌های عصبی و پیش‌ساز عصبی مثل *Map2*, *PAX6* و *Ngn1* *PEP* نیز بررسی گردید.

RNA کل از سلول‌های P19 استخراج شد و سنتز cDNA صورت گرفت و بررسی بیان ژن‌های مذکور به صورت نیمه کمی با استفاده از RT-PCR انجام شد.

داده‌های حاصله از این مطالعه نشان داد که بیان ژن‌های پرتوانی *Oct4* و *Nanog* کاهش یافت و بیان ژن‌های عصبی و پیش‌ساز عصبی *Map2*, *Ngn1*, *PAX6* و *PEP*, *PEX3* افزایش یافت. بیان ژن‌های *PEP* و *PEX3* افزایش یافت و بیان ژن کاتالاز دستخوش کاهش شد.

در کنار این تحقیق، سلول‌های P19 با استفاده از پلاسمید pUcD2SRαMCS.hygro. PTS2-EGFP ترانسفکت شدند و رده سلولی پایدار بیان کننده این پلاسمید ایجاد شد. از این رده سلولی در جهت بررسی بیان EGFP هنگام تمایز آن به دیگر سلول‌ها استفاده خواهد شد.

در مجموع، نتایج نشان داد که افزایش بیان *PEX3*، به عنوان یک ژن دخیل در بیوژن پراکسی زوم‌ها در حین تمایز عصبی القا شده با رتینوئیک اسید، نشانگر افزایش تعداد پراکسی زوم‌هاست که در حین نوروژن لازم است زیرا یکی از عملکردهای اصلی پراکسی زوم‌ها، بیوسترن پلاسمالوژن‌هاست.

بیان کاتالاز، به عنوان یک آنزیم آنتی اکسیدان، کاهش می‌یابد که این مسئله می‌تواند نتیجه حضور بتامر کاپتوواتانول، که حذف کننده گونه‌های واکنشگر اکسیژن است، در محیط کشت سلول‌های P19 باشد که قادر است آن‌ها را از محیط کشت در طول نوروژن حذف کند. بیان *PEP*، این ژن جدید، در طول تمایز عصبی القا شده با رتینوئیک اسید افزایش می‌یابد.

واژگان کلیدی: پراکسی زوم، تمایز نورونی، *PEP*, *PAX6*, *Ngn1*

## فهرست مطالب

عنوان	صفحه
فصل اول: مقدمه	
۱-۱- کشف پراکسی زوم	۱
۲-۱- ساختمان پراکسی زوم	۳
۳-۱- اختلالات مرتبط با پراکسی زوم	۴
۴-۱- پراکسین ها	۵
۵-۱- ورود پروتئین ماتریکس پراکسی زوم	۸
۶-۱- انتقال لیپید به پراکسی زوم ها	۸
۷-۱- پروتئین های غشایی پراکسی زوم	۹
۸-۱- استرس اکسیدانتیو و پراکسی زوم ها	۱۰
۹-۱-۱- مضرات و فواید گونه های واکنشگر اکسیژن	۱۰
۹-۲-۱- پراکسی زوم ها و ROS	۱۱
۱۰-۱-۳-۸-۱- پاسخ پراکسی زوم ها به استرس اکسیدانتیو	۱۴
۱۱-۱- ۹-۱- کاتالاز	۱۵
۱۰-۱-۱۰-۱- پروتئین PEP	۱۷
۱۱-۱- ۱۱-۱- سیستم های انتقال DNA	۱۸
۱۲-۱- روش های مکانیکی و الکتریکی	۲۰
۱۳-۱- روش های شیمیایی	۲۲
۱۴-۱- ۱۴-۱- هیگرومایسین B	۲۴
۱۵-۱- ۱۵-۱- کشت سلول و رددهای سلولی	۲۵
۱۶-۱- ۱۶-۱- سلول های بنیادی	۲۷
۱۷-۱- ۱۷-۱- منشأ سلول های بنیادی	۲۹
۱۸-۱- ۱۸-۱- سلول های بنیادی	۲۹
۱۸-۱-۱- ۱۸-۱- سلول بنیادی جنینی	۲۹
۱۸-۱-۲- ۱۸-۱- سلول بنیادی بالغ	۳۰
۱۸-۱-۳- ۱۸-۱- سلول های تراتوکارسینومای جنینی	۳۲
۱۸-۱-۳-۱- ۱۸-۱- سلول های P19	۳۳

## عنوان

## صفحه

۳۳.....	P19 -۲-۳-۱۸-۱
۳۴.....	Oct4 -۳-۳-۱۸-۱
۳۵.....	Nanog -۴-۳-۱۸-۱
۳۵.....	SSEA-1 -۵-۳-۱۸-۱
۳۶.....	P19 -۶-۳-۱۸-۱
۳۶.....	-۱۹-۱- رتینوئیک اسید
۳۷.....	-۱-۱۹-۱- مکانیسم عمل رتینوئیک اسید
۳۸.....	-۱۰-۱- نشانگرهای عصبی
۳۸.....	Ngn-1 -۱-۲۰-۱
۳۹.....	PAX6 -۲-۲۰-۱
۳۹.....	MAP2 -۳-۲۰-۱
۴۰.....	NCAM -۴-۲۰-۱
۴۲.....	-۲۱-۱- اهداف

## فصل دوم: مواد و روش ها

۴۳.....	-۱-۲- تجهیزات و دستگاه ها
۴۵.....	-۲-۲- مواد مصرفی و نحوه ساخت
۴۵.....	-۱-۲-۲- وکتور
۴۶.....	-۲-۲-۲- محیط های کشت
۴۷.....	-۱-۲-۲-۲- محیط کشت باکتریایی 2xYT
۴۷.....	-۲-۲-۲-۲- محیط کشت سلول های P19
۴۸.....	-۳-۲-۲-۲- محیط کشت Neurobasal و مکمل
۴۹.....	-۳-۲-۲- آنتی بیوتیک
۵۰.....	-۴-۲-۲- الکتروفورز ژل آگارز
۵۰.....	-۲-۴-۲-۱- بافر الکتروفورز 50 X TAE
۵۰.....	-۲-۴-۲-۲- اتیدیوم بروماید
۵۱.....	-۳-۴-۲-۲- بافر بارگیری
۵۲.....	-۴-۴-۲-۲- مارکرهای اندازه DNA

## عنوان

## صفحة

۵۳	- روش الکتروفورز	۵-۴-۲-۲
۵۴	PCR	۵-۲-۲
۵۴	- طراحی پرایمر	۱-۵-۲-۲
۵۵	cDNA و سنتز PCR	۲-۵-۲-۲
۵۶	PCR	۳-۵-۲-۲
۶۰	- بهینه‌سازی PCR	۴-۵-۲-۲
۶۱	روش‌ها و تکنیک‌ها	۳-۲
۶۱	- بخش سلولی	۱-۳-۲
۶۱	P19	۱-۱-۳-۲
۶۱	P19	۲-۱-۳-۲
۶۲	P19	۳-۱-۳-۲
۶۲	P19	۴-۱-۳-۲
۶۳	- پاساژ و شمارش سلولی جهت ترانسفکشن.	۵-۱-۳-۲
۶۴	- ترانسفکشن	۶-۱-۳-۲
۶۵	- تولید رده سلولی پایدار	۷-۱-۳-۲
۶۶	- اینوسایتوشیمی و رنگ آمیزی سلولی	۸-۱-۳-۲
۶۷	P19	۱-۸-۱-۳-۲
۶۸	SSEA-1	۲-۸-۱-۳-۲
۶۹	NCAM	۳-۸-۱-۳-۲
۶۹	- پوشاندن کف پتری دیش ها به وسیله آگارز $\%0/2$	۹-۱-۳-۲
۷۰	P19	۱۰-۱-۳-۲
۷۱	RNA	۱۱-۱-۳-۲
۷۱	- آماده سازی نمونه‌ها جهت استخراج	۲-۳-۲
۷۱	RNA	۱-۲-۳-۲
۷۲	DNA و RNA	۲-۲-۳-۲
۷۳	DNAase I	۳-۲-۳-۲
۷۳	cDNA	۴-۲-۳-۲

صفحه	عنوان
۷۵	- استخراج پلاسمید.....۲-۳-۲-۵
	فصل سوم: نتایج
۷۷	نتایج بخش سلولی.....۲
۷۷	۱-۳-۱- مرفولوژی سلول های P19.....۲
۷۸	۲-۳-۲- تمايز سلول های P19 معمولی به سمت عصب.....۳
۷۸	۱-۲-۳-۱- تشكيل تجمعات سلولی.....۳
۷۸	۲-۳-۳- کاشتن تجمعات سلولی ها.....۳
۷۹	۳-۳- نتایج رنگ آمیزی و ایمونوسایتوشیمی.....۳
۷۹	۱-۳-۳-۱- نتایج رنگ آمیزی سلولهای P19 معمولی.....۳
۷۹	۱-۳-۳-۱-۱- رنگ آمیزی علیه آنتی بادی NACM.....۳
۸۰	۱-۳-۳-۲- رنگ آمیزی علیه آنتی بادی SSEA-1.....۳
۸۱	۲-۳-۲- رنگ آمیزی سلول های ترانسفکت شده.....۳
۸۱	۱-۲-۳-۲- رنگ آمیزی علیه آنتی بادی کاتالاز.....۳
۸۲	۲-۲-۳-۲- رنگ آمیزی علیه آنتی بادی SSEA-1.....۳
۸۲	نتایج بخش مولکولی.....۳
۸۲	۴-۳- بهینه سازی شرایط RT-PCR.....۳
۸۲	۱-۴-۳-۱- بهینه سازی شرایط RT-PCR زن های PEX3 و کاتالاز.....۳
۸۳	۲-۴-۳-۲- بهینه سازی شرایط RT-PCR زن های Nanog و Oct4 .....۳
۸۵	۳-۴-۳- بررسی نیمه کمی جهت بهینه سازی PCR زن ها.....۳
۸۷	۵-۳- نتایج حاصل از RT-PCR مربوط به سلول های P19 معمولی در حین عصب زایی.....۳
۸۸	۱-۵-۳- نتایج حاصل از RT-PCR مربوط به زن بتاتوبولین.....۳
۸۹	۲-۵-۳- نتایج حاصل از RT-PCR مربوط به زن های پرتوانی Nanog و Oct4 .....۳
۹۰	۳-۵-۳- نتایج حاصل از RT-PCR مربوط به زن های پیش ساز عصبی.....۳
۹۲	۴-۵-۳- نتایج حاصل از RT-PCR مربوط به زن عصبی MAP2 .....۳
۹۳	۵-۵-۳- نتایج حاصل از RT-PCR مربوط به زن های پراکسی زومی PEX3 و کاتالاز.....۳
۹۴	۶-۵-۳- نتایج حاصل از RT-PCR مربوط به زن پراکسی زومی PEP .....۳
۹۴	۶-۳- بررسی نیمه کمی زن ها در حین عصب زایی.....۳

## عنوان

## صفحه

۱-۶-۳- نتایج بررسی نیمه کمی ژن های پرتوانی Nanog و Oct4	۹۵
۲-۶-۳- نتایج بررسی نیمه کمی ژن های پیش ساز عصبی	۹۵
۳-۶-۳- نتایج بررسی نیمه کمی ژن عصبی MAP2	۹۶
۴-۶-۳- نتایج بررسی نیمه کمی ژن های پراکسی زومی PEX3 و کاتالاز	۹۷
۵-۶-۳- نتایج بررسی نیمه کمی ژن PEP	۹۸
۷-۳- نتایج حاصل از RT-PCR مربوط به سلول های P19 ترانسفکت شده	۹۹
۱-۷-۳- نتایج حاصل از RT-PCR مربوط به ژن بتا توبولین	۹۹
۲-۷-۳- نتایج حاصل از RT-PCR مربوط به نشانگر EGFP	۱۰۰
۳-۷-۳- نتایج حاصل از RT-PCR مربوط به ژن های پرتوانی Nanog و Oct4	۱۰۰
۸-۳- آماده سازی پلاسمید	۱۰۱
۹-۳- ترانسفکشن گذرا	۱۰۱
۱۰-۳- ترانسفکشن پایدار	۱۰۲

## فصل چهارم: بحث و نتیجه گیری

۱-۴- بحث	۱۰۴
۲-۴- بررسی ارتباط بین بیماری های نورولوژیکی و پراکسی زوم	۱۰۵
۳-۴- نقش رتینوئیک اسید در نوروزن	۱۰۵
۴-۴- نقش PEX3 در پراکسی زوم و نوروزن	۱۰۶
۵-۴- نقش کاتالاز در پراکسی زوم و نوروزن	۱۰۷
۶-۴- نقش PEP در پراکسی زوم و نوروزن	۱۰۸
۷-۴- تغییر بیان ژن های پرتوانی و عصبی	۱۰۹
۸-۴- رد سلولی پایدار بیان کننده PTS2-EGFP	۱۱۰
۹-۴- پیشنهادات	۱۱۱
پیوست شماره ۱- نتایج حاصل از بررسی های SPSS مربوط به ژن Oct4	۱۱۲
پیوست شماره ۲- نتایج حاصل از بررسی های SPSS مربوط به ژن Nanog	۱۱۳
پیوست شماره ۳- نتایج حاصل از بررسی های SPSS مربوط به ژن Ngn1	۱۱۴
پیوست شماره ۴- نتایج حاصل از بررسی های SPSS مربوط به ژن PAX6	۱۱۵
پیوست شماره ۵- نتایج حاصل از بررسی های SPSS مربوط به ژن MAP2	۱۱۶

عنوان

صفحه

پیوست شماره ۶ - نتایج حاصل از بررسی های SPSS مربوط به ژن PEX3	۱۱۷
پیوست شماره ۷ - نتایج حاصل از بررسی های SPSS مربوط به ژن کاتالاز	۱۱۸
پیوست شماره ۸ - نتایج حاصل از بررسی های SPSS مربوط به ژن PEP	۱۱۹
پیوست شماره ۹ - تصاویر رنگی موجود در متن	۱۲۰
منابع و مأخذ	۱۲۳

## فهرست شکل‌ها

صفحه	عنوان
۵.....	شکل ۱-۱- پراکسین.....
۱۲.....	شکل ۱-۲- تصویر شماتیک آنزیم‌های پراکسی زومی که سبب تولید و حذف ROS می‌شوند.....
۲۰.....	شکل ۱-۳- تصویر شماتیک مسیرهای انتقال DNA با سه مانع بزرگ.....
۲۴.....	شکل ۱-۴- ساختار آنتی بیوتیک هیگرومایسین B.....
۴۶.....	شکل ۲-۱- نقشهٔ ژنتیکی وکتور بیانی pUcD2SRαMCS.....
۵۱.....	شکل ۲-۲- ساختار آنتیدیوم بروماید.....
۵۲.....	شکل ۲-۳- نشانگر DNA.....
۵۳.....	شکل ۲-۴- روش قرار دادن شانه درون ژل و بار نمودن نمونه‌ها روی ژل.....
۷۷.....	شکل ۳-۱- مرفوЛОژی معمول سلول‌های P19 با بزرگنمایی‌های متفاوت.....
۷۸.....	شکل ۳-۲- مرفوLOژی تجمعات سلولی در مراحل مختلف تیمار با رتینوئیک اسید و کاهش سرم.....
۷۹.....	شکل ۳-۳- مراحل شکل گیری عصب بعد از کاشتن تجمعات سلول.....
۸۰.....	شکل ۳-۴- سلول‌های P19 رنگ آمیزی شده علیه NCAM.....
۸۰.....	شکل ۳-۵- تصویر رنگ آمیزی سلولهای P19 علیه SSEA-1.....
۸۱.....	شکل ۳-۶- تصویر رنگ آمیزی سلولهای P19 ترانسفکت شده با استفاده از آنتی بادی کاتالاز.....
۸۲.....	شکل ۳-۷- تصویر رنگ آمیزی سلولهای P19 ترانسفکت شده با استفاده از آنتی بادی SSEA-1.....
۸۳.....	شکل ۳-۸- بهینه سازی دمایی RT-PCR مربوط به ژن‌های PEX3 و کاتالاز.....
۸۳.....	شکل ۳-۹- بهینه سازی تعداد سیکل‌های RT-PCR مربوط به ژن‌های PEX3 و کاتالاز.....
۸۴.....	شکل ۳-۱۰- بهینه سازی شرایط دمایی RT-PCR مربوط به ژن‌های Oct4 و Nanog.....
۸۵.....	شکل ۳-۱۱- بهینه سازی تعداد سیکل‌های RT-PCR مربوط به ژن‌های Oct4 و Nanog.....
۸۶.....	شکل ۳-۱۲- نمودار ترسیمی توسط نرم افزار Gene Tool.....
۸۶.....	شکل ۳-۱۳- نمودار ترسیمی توسط نرم افزار Gene Tool.....
۸۷.....	شکل ۳-۱۴- نمودار ترسیمی توسط نرم افزار Gene Tool.....
۸۷.....	شکل ۳-۱۵- نمودار ترسیمی توسط نرم افزار Gene Tool.....
۸۸.....	شکل ۳-۱۶- نتایج RT-PCR مربوط به ژن بتا توبولین در مراحل مختلف عصب‌زاوی سلول‌های P19.....

صفحه	عنوان
	شکل ۳-۱۷-۳ - نتایج RT-PCR مربوط به ژن های Oct4 و Nanog در مراحل مختلف عصب زایی سلول های P19 ..... ۹۰
	شکل ۳-۱۸-۳ - نتایج RT-PCR مربوط به ژن های Ngn1 و PAX6 در مراحل مختلف عصب زایی سلول های P19 ..... ۹۱
	شکل ۳-۱۹-۳ - نتایج RT-PCR مربوط به ژن MAP2 در مراحل مختلف عصب زایی سلول های P19 ..... ۹۲
	شکل ۳-۲۰-۳ - نتایج RT-PCR مربوط به ژن های PEX3 و کاتالاز در مراحل مختلف عصب زایی سلول های P19 ..... ۹۳
	شکل ۳-۲۱-۳ - نتایج RT-PCR مربوط به ژن PEP در مراحل مختلف عصب زایی سلول های P19 ..... ۹۴
	شکل ۳-۲۲-۳ - بررسی نیمه کمی بیان ژن های Oct4 و Nanog ..... ۹۵
	شکل ۳-۲۳-۳ - بررسی نیمه کمی بیان ژن های Ngn1 و PAX6 ..... ۹۶
	شکل ۳-۲۴-۳ - بررسی نیمه کمی بیان ژن های MAP2 ..... ۹۷
	شکل ۳-۲۵-۳ - بررسی نیمه کمی بیان ژن های PEX3 و کاتالاز با استفاده از نرم افزار SPSS ..... ۹۸
	شکل ۳-۲۶-۳ - بررسی نیمه کمی بیان ژن PEP با استفاده از نرم افزار SPSS ..... ۹۸
	شکل ۳-۲۷-۳ - RT-PCR مربوط به ژن بتا توبولین در سلول های P19 معمولی و ترانسفکت شده P19 ..... ۹۹
	شکل ۳-۲۸-۳ - RT-PCR مربوط به ژن EGFP در سلول های P19 معمولی و ترانسفکت شده P19 ..... ۱۰۰
	شکل ۳-۲۹-۳ - RT-PCR مربوط به ژن های پرتوانی در سلول های P19 معمولی و ترانسفکت شده P19 ..... ۱۰۱
	شکل ۳-۳۰-۳ - تصویر لام های فیکس شده ۴۸ ساعت بعد از ترانسفکشن ..... ۱۰۲
	شکل ۳-۳۱-۳ - کلونی سلولی ترانسفکت شده واجد بیان پایدار وکتور ..... ۱۰۳

## فهرست جداول‌ها

عنوان	
صفحه	
جدول ۱-۱- بیماری‌های وراثتی پراکسی زوم	۴
جدول ۱-۲- آنزیم‌هایی پراکسی زومی که ROS را تجزیه می‌کنند	۱۳
جدول ۱-۳- آنزیم‌هایی پراکسی زومی که ROS تولید می‌کنند	۱۳
جدول ۱-۴- معرفی برخی از رده‌های سلولی نامیرا شامل نام اختصاری، نام کامل، موجود زنده و منشأ آنها	۲۶
جدول ۲-۱- دستگاه‌های مورد نیاز	۴۳
جدول ۲-۲- مواد مورد نیاز	۴۵
جدول ۲-۳- فرمول محیط کشت	۴۷
جدول ۲-۴- فرمول محیط DMEM	۴۸
جدول ۲-۵- فرمول محیط Neurobasal و مکمل	۴۹
جدول ۲-۶- غلظت آنتی‌بیوتیک‌ها	۵۰
جدول ۲-۷- پرایمرها و مشخصات آنها	۵۴
جدول ۲-۸- مواد و مقادیر مورد نیاز برای واکنش PCR	۵۵
جدول ۲-۹- مواد و مقادیر مورد نیاز برای استخراج RNA، تیمار با DNaseI و سنتز cDNA	۵۶
جدول ۲-۱۰- برنامه تعیین شده جهت PCR ژن‌های مختلف	۵۷

## فصل اول

### مقدمه

### ۱-۱ کشف پراکسی زوم

پراکسی زوم ها، اندامک های یوکاریوتی تک غشائی هستند که در تمام سلول های یوکاریوتی، بجز آرکوزوآها وجود دارند و دارای عملکردهای متنوع می باشند. این اندامک های مکانیسم های بیوزنیکی مشابهی دارند و در بد و امر (۱۹۵۴) از طریق مرفلوژیک تشخیص داده شدند و سپس (در سال ۱۹۶۵) عملکرد آن ها مورد بررسی واقع گردید (Heiland and Erdmann, 2005; Rottensteiner and Theodoulou, 2006; Brown and Baker, 2003). در سال ۱۹۵۴، Johannes Rhodin در سلول های کلیه موش، اندامک های کوچکی در حد ۰/۵ میکرومتر شناسایی و آن ها را میکروبادی نامید. در سال ۱۹۶۵ Christian de Duve فعالیت پراکسیداسیونی این میکروبادی ها را شناسایی کرد و نام پراکسی زوم را برای ساختارهای فوق پیشنهاد کرد (Knoll et al., 1999; Singh et al., 2000).

معمولًا پراکسی زوم ها حاوی ماتریکسی هستند که درون آن پروتئین های محلول در آب وجود دارد. پراکسی زوم ها دارای آنزیم های متنوعی هستند که این آنزیم ها شامل کاتالاز، آنزیم های دخیل در  $\beta$  اکسیداسیون اسیدهای چرب بسیار طویل و نیز آنزیم هایی که در سنتز پلاسمالوژن ها نقش دارند، می باشد. پراکسی زوم ها در مراحل مختلف اکسیداسیون اسیدهای آمینه D و L، اسیداوریک، الکل ها، پلی آمین،

$\alpha$  هیدروکسی اسیدها، دی کربوکسیلیک اسیدها و پیپکولیک اسیدها، گلی اکسی لات و پروستاگلاندینها و همچنین در بیوسنتر کلسترول، گلیسرولپیدها و اسیدهای صفراوي نقش دارند ( Knoll *et al.*, 1999; Singh *et al.*, 2000; Suzuki *et al.*, 2001; Ishikawa *et al.*, 2001; Knoll *et al.*, 2000).

سه عملکرد پراکسی زوم ها که در بین اور گانیسم هایی که از نظر تکاملی از یکدیگر دورتر می باشند حفظ شده است، بتا اکسیداسیون اسیدهای چرب، تنفس بر اساس هیدروژن پراکسید و دفاع در برابر استرس های اکسیداتیو می باشد. نقش های اختصاصی این اندامک به اور گانیسم و نوع سلول بستگی دارد و پراکسی زوم ها در اعمالی نظیر اکسیداسیون اسیدهای چرب و تولید و حذف پراکسید هیدروژن ها و همچنین در بتا اکسیداسیون ترکیبات معطر و حلقوی، سنتز ایزو پرنوئیدها، پنی سیلین، لیزین، بتائین گلیسین، متابولیسم پورین ها و پیریمیدین ها و کاتابولیسم پلی آمین ها، D-آمینواسیدها و متابولیزم پورین ها و پیریمیدین ها در چرخه گلی اکسی لات، مسیر پتوز فسفات و تنفس نوری شرکت دارند و اخیراً نقش های کلیدی برای پراکسی زوم ها در سیگنانلینگ و تکوین شناخته شده است. تنوع فعالیت، اغلب در اختصاصی شدن پراکسی زوم ها انعکاس می یابد، خصوصاً در گیاهان و نیز در تریپانوزوم ها. بسیاری مسیرهای متابولیکی پراکسی زوم منجر به تولید پراکسید هیدروژن می شود. تجزیه بعدی این ترکیب سمی توسط کاتالاز یک روند اساسی است که تقریباً در Wanders, 2004; Kovacs *et al.*, 2002; Kovacs *et al.*, 2002; Hogenboom *et al.*, 2002 تمام پراکسی زوم ها رخ می دهد ( Baes *et al.*, 2000).

پراکسی زوم ها در پستانداران واجد دو مسیر بتا اکسیداسیون اسیدهای چرب و یک مسیر آلفا اکسیداسیون اسید چرب هستند که روی گروه خاصی از لپید ها که توسط مسیرهای بتا اکسیداسیون میتوکندریایی به طور ضعیفی اکسیده می شوند، عمل می کنند. این لپید ها شامل اسیدهای چرب با زنجیره بسیار بلند، دی کربوکسیلیک اسیدهای با زنجیره بلند، اسیدهای چرب با زنجیره شاخه دار ( مثل فیتائیک اسید که به پریستائیک اسید اکسیده می شود و سپس وارد مسیر بتا اکسیداسیون می شود)، اسیدهای دی و تری هیدروکسی کوپروستائیک و پروستانوئیدها می باشند ( Baes *et al.*, 2000).

به علاوه پراکسی زوم ها برای بیوسنتر کلسترول نیز لازمند. در گذشته تصور می شد که مسیر بیوسنتر کلسترول در سیتوزول و شبکه اندوپلاسمی انجام می شود، گرچه امروزه عقیده بر آن است که اغلب آنزیم های در گیر در بیوسنتر کلسترول تقریباً منحصراً در پراکسی زوم ها واقعند ( Aboushadi *et al.*, 1999).

## ۱-۲ ساختمان پراکسی زوم

پراکسی زوم ها اندامک های کروی شکل داخل سلولی، به قطر ۱-۱/۰ میکرومترمی باشند (Ferrer *et al.*, 2005; Schrader *et al.*, 2000).

۱. پراکسی زوم دارای چندین پروتئین غشایی ویژه است:

ATP- Cassette PMP70<sup>۱</sup> پروتئین غشایی متعلق به خانواده بزرگ پروتئین های انتقالی به نام Binding (ABC) می باشد.

تعدادی از پروتئین های غشایی در انتقال مولکول های مختلفی که از نظر اندازه و بار الکتریکی با هم تفاوت دارند، نقش دارند.

پروتئین های مذکور، همچنین دارای نواحی انتهایی با اسید آمینه های هیدروفوبیک و شش قطعه پنج خورده در غشاء هستند که با نواحی هیدروفیلیک حاوی ATP همراه است.

۲. بیشترین و مهمترین آنزیم پراکسی زومی، کاتالاز است:

در حدود ۴۰٪ کل پروتئین های پراکسی زوم را کاتالاز تشکیل می دهد.

کاتالاز فعال یک ترامر حاوی هم است.

کاتالاز به منظور اکسیداسیون سویستراهايی مثل اتانول از پراکسید هیدروژن استفاده می کند.

کاتالاز، همچنین، مقادیر اضافی پراکسید هیدروژن را تجزیه می کند.

۳. گروه دیگر آنزیم های پراکسی زومی، اکسیدازها هستند:

اکسیدازهای پراکسی زومی، اکسیدازهای فلاوینی نامیده می شوند زیرا برای فعالیت از فلاوین به عنوان کوآنزیم بهره می برند.

مثال های ویژه در این رابطه، اورات اکسیدازها، D آمینو اسید اکسیدازها و L آمینو اسید اکسیدازها و آسیل کوآکسیداز می باشند.

این اکسیدازها، سویستراهاي خود را اکسید کرده و اکسیژن را به پراکسید هیدروژن احیاء می کنند.

---

<sup>۱</sup> - Peroxisomal Membrane Protein